

©1994 г.

## ВЛИЯНИЕ ТЕПЛОВОГО ОТЖИГА НА ФОТОЭЛЕКТРИЧЕСКИЕ СВОЙСТВА ЛЕГИРОВАННЫХ БОРОМ ПЛЕНОК *a-Si:H*

*И.А.Курова, А.Н.Лупачева, Н.В.Мелешико, Э.В.Ларина*

Московский государственный университет им. М.В.Ломоносова,  
119899, Москва, Россия

(Получена 3 августа 1993 г. Принята к печати 16 декабря 1993 г.)

Исследовано влияние теплового отжига на электрические и фотоэлектрические свойства пленок *a-Si:H*, легированных бором из газовой фазы. Установлено, что после отжига пленок при  $T_s < T_a < 460^\circ\text{C}$  ( $T_a$  — температура отжига,  $T_s$  — температура роста) темновая проводимость  $\sigma_d$  и фотопроводимость  $\sigma_{ph}$  растут, энергия активации  $\sigma_d$  уменьшается. Это, по-видимому, обусловлено увеличением эффективности легирования пленок. Отжиг при  $T_a > 460^\circ\text{C}$  приводит к уменьшению  $\sigma_d$  и резкому падению  $\sigma_{ph}$  вследствие разупорядочения структуры пленки, связанного с разрывом Si—H-связей.

Известно [1–4], что отжиг пленок *a-Si:H* при  $T_a > T_s$ , где  $T_s$  — температура роста пленок,  $T_a$  — температура отжига, приводит к изменению их электрических, оптических и фотоэлектрических характеристик. Было установлено, что при этом изменяется содержание водорода в пленке вследствие его эфузии и увеличивается концентрация оборванных связей кремния. Так как оборванные связи являются основными центрами рекомбинации в *a-Si:H*, то время жизни электронов в отожженных пленках уменьшается и фотопроводимость падает. Темновая проводимость изменяется вследствие смещения уровня Ферми в глубь зоны при образовании оборванных связей.

Большинство работ посвящено исследованию влияния отжига на нелегированные пленки, в которых отжиг при  $T_a \geq 360^\circ\text{C}$  приводит к уменьшению темновой проводимости и фотопроводимости. Нам известна лишь одна работа [5], где исследуется влияние отжига на фотоэлектрические свойства легированной фосфором пленки *a-Si:H*. В этой работе было получено, что темновая проводимость пленки практически не изменялась в результате отжига при температурах до  $T_a = 450^\circ\text{C}$ , а фотопроводимость уменьшалась при  $T_a > 450^\circ\text{C}$ , но слабее, чем в нелегированной пленке.

В данной работе исследовалось влияние теплового отжига на электрические и фотоэлектрические свойства пленок *a-Si:H*, легированных

бором. Пленки были выращены в высокочастотном тлеющем разряде при температуре подложки  $T_s = 280^\circ\text{C}$ . Подложка была кварцевой или из кристаллического кремния ( $c\text{-Si}$ ) с покрытием из термически выращенного  $\text{SiO}_2$  (толщина слоя составляла 0.6 мкм). Концентрация бора, определенная методом SIMS, составляла  $\sim 3 \cdot 10^{18} \text{ см}^{-3}$ . Отжиг пленок проводился в вакууме при остаточном давлении  $10^{-6}$  мм рт.ст., температура измерялась термопарой.

На рис. 1,*a,b* показаны температурные зависимости темновой проводимости,  $\sigma_d(T)$ , и фотопроводимости,  $\sigma_{ph}(T)$ , для легированных бором пленок,  $a\text{-Si:H(B)}$ , на подложке из кварцевого стекла, отожженных при разных температурах. Для сравнения приведены темновая проводимость и фотопроводимость для контрольного неотожженного образца, выращенного в одном процессе с отожженными образцами. Видно, что после отжига пленок при  $T_a \leq 450^\circ\text{C}$  (в течение 1 мин) темновая проводимость увеличивается, ее энергия активации  $E_\sigma$  уменьшается, фотопроводимость возрастает. Вместе с тем отжиг пленки при  $T_a \geq 500^\circ\text{C}$  изменяет параметры пленки в другую сторону: темновая проводимость и фотопроводимость сильно уменьшаются.

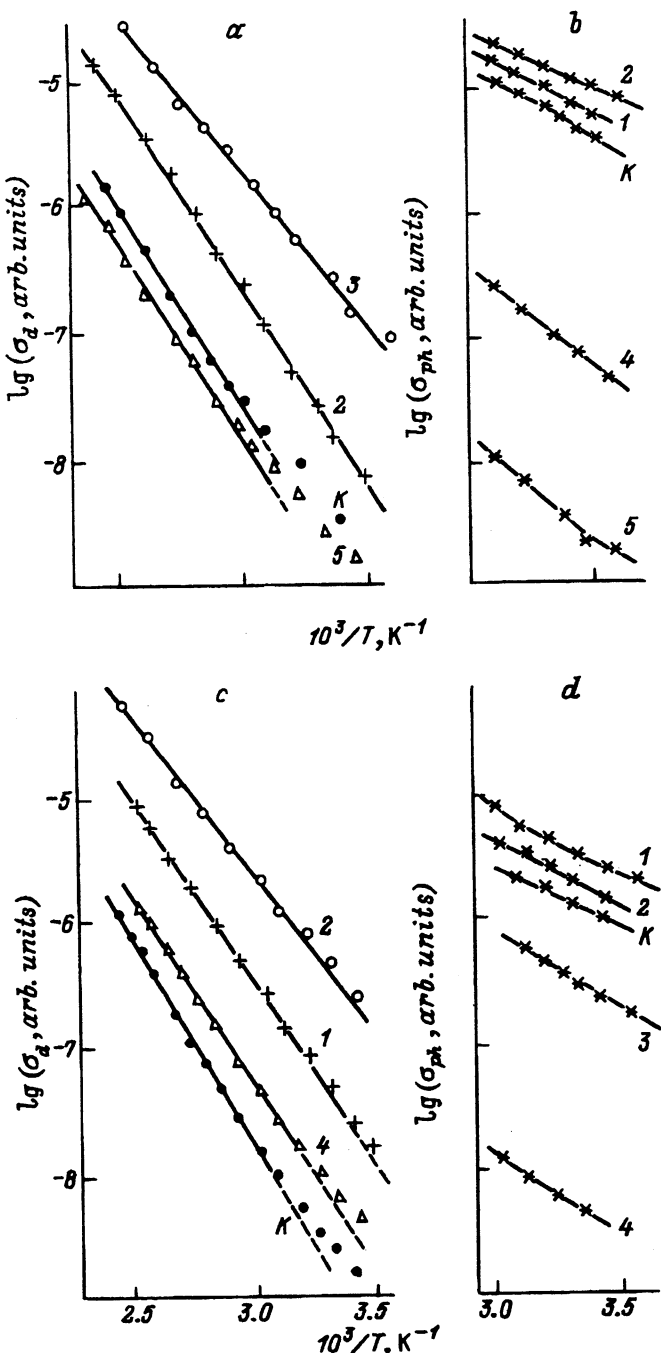
На рис. 1,*c,d* представлены результаты измерений температурных зависимостей  $\sigma_d(T)$  и  $\sigma_{ph}(T)$  для отожженных при разных температурах пленок  $a\text{-Si:H(B)}$ , выращенных на подложке  $c\text{-Si/SiO}_2$ . Видно, что наблюдаются подобные приведенным на рис. 1,*a,b* изменения  $\sigma_d(T)$  и  $\sigma_{ph}(T)$ . Отжиг при  $T_a < 460^\circ\text{C}$  приводит к увеличению темновой проводимости и фотопроводимости (при комнатной температуре  $\sigma_d$  увеличилась в  $\sim 100$  раз,  $\sigma_{ph}$  — в 2 раза) и уменьшению энергии активации темновой проводимости  $E_\sigma$ . При  $T_a > 460^\circ\text{C}$   $\sigma_d$  и  $\sigma_{ph}$  резко уменьшаются ( $\sigma_d$  — на 2 порядка,  $\sigma_{ph}$  — на 3 порядка при комнатной температуре).

Были проведены аналогичные исследования влияния отжига на электрические и фотоэлектрические параметры нелегированных пленок  $a\text{-Si:H}$ , выращенных на подложке из кварцевого стекла. На рис. 2 представлены зависимости  $\sigma_d(T)$  и  $\sigma_{ph}(T)$  для пленок, отожженных при разных температурах. Из рисунка видно, что  $\sigma_d$  и  $E_\sigma$  не изменяются при температурах отжига  $T_a < 520^\circ\text{C}$ , однако величина  $\sigma_{ph}$  постепенно уменьшается с увеличением  $T_a$  (для пленки, отожженной при  $T_a = 420^\circ\text{C}$ ,  $\sigma_{ph}$  при комнатной температуре уменьшилась в 11 раз; для пленки, отожженной при  $T_a = 520^\circ\text{C}$ , — в 55 раз).

Таким образом, характер изменения температурных зависимостей темновой проводимости и фотопроводимости для легированных и нелегированных пленок различен. По-видимому, это различие, связанное с присутствием бора в легированных пленках, обусловлено увеличением концентрации электрически активных атомов бора в результате отжига пленок при  $T_a < 460^\circ\text{C}$ . Такой вывод можно сделать, если принять во внимание совпадение зависимостей фотопроводимости от положения уровня Ферми ( $E_F - E_v$ ) при комнатной температуре для наших пленок и пленок с разным уровнем легирования из газовой фазы из работы [6] (рис. 3). Величина  $E_F - E_v$  рассчитывалась по формуле

$$E_F - E_v = kT \ln(\sigma_{min}/\sigma_d), \quad (1)$$

где  $\sigma_{min} = 150 \text{ Ом}^{-1} \cdot \text{см}^{-1}$  [7],  $T = 300 \text{ K}$ ,  $\sigma_d$  — равновесная темновая проводимость при комнатной температуре. Так как в области комнат-



**Рис. 1.** Температурные зависимости темновой проводимости (*a, c*) и фотопроводимости (*b, d*) для легированных бором пленок,  $a\text{-Si:H(B)}$ . *a, b* — пленки выращены на кварцевом стекле; температура отжига  $T_a$ ,  $^{\circ}\text{C}$ : 1 — 335, 2 — 360, 3 — 410, 4 — 490, 5 — 520. *c, d* — пленки выращены на структуре  $c\text{-Si/SiO}_2$ ; температура отжига  $T_a$ ,  $^{\circ}\text{C}$ : 1 — 360, 2 — 460, 3, 4 — 520 (1 и 15 мин соответственно). *K* — контрольный неотожженный образец.

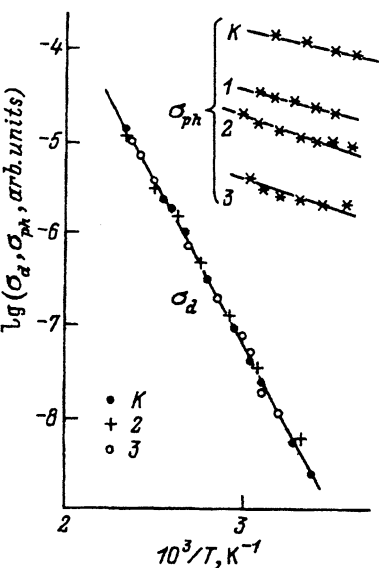


Рис. 2. Температурные зависимости темновой проводимости и фотопроводимости для нелегированных пленок  $a\text{-Si:H}$ , выращенных на кварцевом стекле. Температура отжига  $T_a$ ,  $^{\circ}\text{C}$ : 1 — 360, 2 — 420, 3 — 520; К — контрольный неотожженный образец.

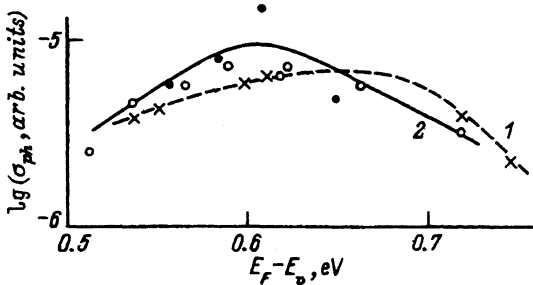


Рис. 3. Зависимость фотопроводимости от положения уровня Ферми. 1 — данные из работы [6], 2 — наши результаты.

ных температур наблюдаются неравновесная проводимость и ее гистерезис [8],  $\sigma_d$  определялась путем экстраполяции высокотемпературного равновесного участка темновой проводимости в область более низких температур. (В области высоких температур отсутствует гистерезис и наблюдается экспоненциальная температурная зависимость равновесной темновой проводимости с энергией активации  $E_\sigma$ , которая уменьшается в легированных пленках после отжига при  $T_a < 460 \text{ }^{\circ}\text{C}$ ). Из рисунка видно, что фотопроводимость имеет максимум в области  $E_F - E_v \approx 0.6 \text{ эВ}$  и слабо спадает по обе стороны от него. В работе [9] наблюдается независимость фотопроводимости от положения уровня Ферми  $E_F - E_v$  при изменении последнего степенью легирования пленок бором из газовой фазы. Такое поведение  $\sigma_{ph}(E_F - E_v)$ , отличное от зависимости  $\sigma_{ph}(E_F - E_v)$  в пленках  $n$ -типа проводимости  $a\text{-Si:H}$ , объясняется в работе [6] определяющим влиянием прилипания дырок в хвосте состояний валентной зоны на концентрацию рекомбинационных центров — нейтральных оборванных связей. В рамках этой модели увеличение фотопроводимости в результате отжига при  $T_a < 460 \text{ }^{\circ}\text{C}$ , может указывать на отсутствие существенных изменений хвоста состояний валентной зоны, а температурная зависимость фотопроводи-

мости — ее энергия активации  $E_{ph}$  — определяет эффективную энергию активации центров прилипания дырок в хвосте валентной зоны. Неизменная энергия активации  $E_{ph} \approx 0.18$  эВ при отжиге с  $T_a < 460$  °С также означает практически слабое изменение хвоста валентной зоны и, следовательно, структуры пленок.

Резкое уменьшение  $\sigma_d$  и  $\sigma_{ph}$  при отжиге с  $T_a > 460$  °С указывает на возникновение структурных изменений в пленках, обусловленных разрывом Si—H-связей при этих температурах отжига [10].

Таким образом, установлено, что в пленках *a*-Si:H, легированных бором, термический отжиг при температурах  $T_a \leq 460$  °С приводит к существенному росту темновой проводимости, уменьшению ее энергии активации, а также к увеличению фотопроводимости. Это, по-видимому, обусловлено увеличением эффективности легирования пленок в результате их отжига при  $T_s < T_a < 460$  °С. При повышении температуры отжига выше 460 °С происходит сильное уменьшение фотопроводимости и темновой проводимости вследствие существенного разупорядочения структуры пленки, связанного с разрывом Si—H-связей.

#### Список литературы

- [1] G.D. Cody, T. Tiedhjie, B. Abelis, B. Brooks. Phys. Rev. Lett., **47**, 1480 (1981).
- [2] J. Stuke. J. Non-Cryst. Sol., **97**, 1 (1987).
- [3] D.K. Biegelsen, R.A. Street, C.C. Tsai. Phys. Rev. B, **20**, 4839 (1979).
- [4] P. Jensen, R.M. Meandre. J. Phys.: Condens. Matter, **2**, 4785 (1990).
- [5] D.L. Staebler, J.I. Pankove. Appl. Phys. Lett., **37**, 609 (1980).
- [6] A.G. Kazanskii, S.V. Kuznetsov. Phys. St. Sol. (b), **168**, K19 (1991).
- [7] R.A. Street, J. Kakalios, C.C. Tsai, T.M. Hayes. Phys. Rev. B, **35**, 1316 (1987).
- [8] J. Kakalios, R.A. Street. Phys. Rev. B, **34**, 6014 (1986).
- [9] О.А. Голикова, М.М. Мездргина, А.П. Соколов, А.П. Шебанин. ФТП, **26**, 960 (1992).
- [10] S.H. Jang, C. Lee. Phil. Mag. B, **53**, 293 (1986).

Редактор Л.В. Шаронова